

دراسات طيفية لبعض مشتقات الكومارين ومترابطاته مع بعض العناصر الانتقالية

إعداد
هدى محمد العمري

بحث مقدم لنيل درجة الماجستير في العلوم
كيمياء - كيمياء تحليلية

كلية التربية للأقسام العلمية
جامعة الملك عبد العزيز
جدة - المملكة العربية السعودية
ذوالقعدة 1430هـ - نوفمبر 2009م

Spectroscopic Studies of some Coumarin Derivatives and some of their Transition Metal Complexes

**By
Huda Mohammad Al-Amri**

**A thesis submitted for the requirements of the degree of Master of
Science/ Chemistry**

**GIRLS COLLEGE OF EDUCATION
KING ABDUL-AZIZ UNIVERSITY – JEDDAH
Zul-Qaidah 1430H – November 2009G**

قائمة المحتويات

أ	شكر و تقدير	نموذج إجازة الرسالة
ب	المستخلص باللغة العربية	
ج	المستخلص باللغة الانجليزية	
د	قائمة المحتويات	
ز	قائمة الأشكال	
ل	قائمة الجداول	
ن	قائمة الرموز و المصطلحات	

1	الفصل الأول: المقدمة
1	1-1 طيف التآلق
5	1-1-1 المردود الكمي
6	1-1-2 العوامل المؤثرة على التآلق
6	1-2-1-1 تأثير التركيب الجزيئي البنائي للمادة
7	1-2-2-1 تأثير الأوكسجين
7	1-2-3-1 تأثير درجة الحرارة والمذيب
8	1-2-4-1 تأثير الرقم الهيدروجيني pH
8	1-2-5-1 تأثير التركيز
9	1-3-1 اضمحلال أو انطفاء التآلق
10	2-1 مقدمة عن الكومارين
14	3-1 الدراسات السابقة
44	4-1 الهدف من البحث

الفصل الثاني: التجارب العملية

45	1-2 الكيماويات
48	2-2 الأجهزة
51	3-2 تحضير المتصلات العضوية المحتوية على قواعد شيف
51	1-3-2 تحضير 4-ميثيل-7- (سالييلدين أمينو) كومارين، HL ₁
	2-3-2 تحضير N ² ,N ¹ -ثنائي[8- (1-ايثيلدين)-7-هيدروكسي- H ₂ -كرومين-2-أون]ايثن-1،2-ثنائي أمين، H ₂ L ₂
	3-3-2 تحضير 8-(IE)-1- (2-أمينو فينيل) أمينو [إيثيل] 7،2-
53	ثنائي أوكسو- 7،8-ثنائي هيدرو- H ₂ -كرومين- 8-أد ، HL ₃
	4-3-2 تحضير (Z)- 8- (1- (4-أمينو فينيل أمينو) إيثيلدين)- H ₂ -كرومين- 7،2(H8)-ثنائي أون ، HL ₄
54	

- 4-2 تحضير متراكبات العناصر الانتقالية مع قواعد شيف 55
 1-4-2 تحضير متراكبات HL_1 55
 2-4-2 تحضير متراكبات H_2L_2 55
 3-4-2 تحضير متراكبات HL_3 56
 4-4-2 تحضير متراكبات HL_4 56

الفصل الثالث: النتائج والمناقشة

- 1-3 طيف الأشعة تحت الحمراء 62
 1-1-3 طيف الأشعة تحت الحمراء للمركب 7-أمينو-4-ميثيل
 كومارين 62
 2-1-3 أطياف الأشعة تحت الحمراء للمتصل HL_1 ومتراكباته
 مع العناصر الانتقالية 63
 3-1-3 طيف الأشعة تحت الحمراء للمركب 8-أسيتيل-7-هيدروكسي
 كومارين 65
 4-1-3 أطياف الأشعة تحت الحمراء للمتصل H_2L_2 ومتراكباته مع
 العناصر الانتقالية 66
 5-1-3 أطياف الأشعة تحت الحمراء للمتصلان HL_3 و HL_4
 ومتراكباتهما مع العناصر الانتقالية 67
 2-3 التحليل الحراري 78
 1-2-3 التحليل الحراري للمتراب $[Cd(L_1)_2(H_2O)_2]$ 78
 2-2-3 التحليل الحراري للمتراب $[Zn(L_3)_2].2H_2O$ 79
 3-2-3 التحليل الحراري للمتراب $[CdL_3OAc].H_2O$ 80
 4-2-3 التحليل الحراري للمتراب $[NiL_3Cl(H_2O)_2]$ 80
 5-2-3 التحليل الحراري للمتراب $[ZnHL_4(OAc)_2(H_2O)_2]$ 81
 6-2-3 التحليل الحراري للمتراب $[CdHL_4(OAc)_2].2H_2O$ 82
 3-3 أطياف الامتصاص الإلكترونية 91
 1-3-3 أطياف الامتصاص الإلكترونية للمتصل HL_1 ومتراكباته
 مع العناصر الانتقالية 91
 2-3-3 أطياف الامتصاص الإلكترونية للمتصل H_2L_2 ومتراكباته
 مع العناصر الانتقالية 92
 3-3-3 أطياف الامتصاص الإلكترونية للمتصل HL_3 ومتراكباته
 مع العناصر الانتقالية 93
 4-3-3 أطياف الامتصاص الإلكترونية للمتصل HL_4 ومتراكباته
 مع العناصر الانتقالية 94
 4-3 دراسة أطياف التآلق 106
 1-4-3 دراسة أطياف التآلق للمركب 7-أمينو-4-ميثيل كومارين
 والمتصل HL_1 ومتراكباته مع العناصر الانتقالية 108
 2-4-3 دراسة أطياف التآلق للمركب 8-أسيتيل-7-هيدروكسي
 كومارين والمتصل H_2L_2 ومتراكباته مع العناصر الانتقالية 113
 3-4-3 دراسة أطياف التآلق للمتصل HL_3 ومتراكباته مع العناصر

115 الانتقالية
	4-4-3 دراسة أطياف التآلق للمتصل HL_4 ومترابطاته مع العناصر
117 الانتقالية
119	5-4-3 دراسة تأثير زيادة تركيز أيون الخارصين الثنائي في المحلول
	6-4-3 دراسة تأثير وجود أيونات مع أيون الخارصين الثنائي
119 في المحلول
120	7-4-3 دراسة تأثير المذيب على طيف التآلق.....
139	5-3 أطياف الرنين البارامغناطيسي الإلكتروني
	1-5-3 دراسات الرنين البارامغناطيسي الإلكتروني لمترابطات
139 النحاس المتناسقة
	1-1-5-3 دراسات الرنين البارامغناطيسي الإلكتروني للمترابط
141 $[CuL_2]$
	2-1-5-3 دراسات الرنين البارامغناطيسي الإلكتروني للمترابط
143 $[CuL_3OAc]$
	3-1-5-3 دراسات الرنين البارامغناطيسي الإلكتروني للمترابط
144 $[CuHL_4(OAc)_2]$
149 6-3 طيف الكتلة
155	7-3 طيف الرنين النووي المغناطيسي
155	1-7-3 طيف الرنين النووي المغناطيسي للمتصل H_2L_2
156	2-7-3 طيف الرنين النووي المغناطيسي للمترابط $[ZnL_2]$
157	3-7-3 طيف الرنين النووي المغناطيسي للمتصل HL_3
	4-7-3 طيف الرنين النووي المغناطيسي للمترابكان $[Zn(L_3)_2].2H_2O$
160 و $[CdL_3OAc].H_2O$
161	5-7-3 طيف الرنين النووي المغناطيسي للمتصل HL_4
	6-7-3 طيف الرنين النووي المغناطيسي للمترابط
161 $[ZnHL_4(OAc)(H_2O)_2]$
179

دراسات طيفية لبعض مشتقات الكومارين ومترابطاته مع بعض العناصر الانتقالية

إعداد

هدى محمد العمري

المستخلص

تم تحضير ودراسة خصائص متصلات شيف 4-ميثيل -7- (سليسايدين أمينو) كومارين، HL_1 و N^2, N^1 -ثنائي [8- (1-إيثيلدين) -7- هيدروكسي -H2- كرومين-2- أون] إيثان 2،1، 2-ثنائي أمين، H_2L_2 و 8- (IE)-1- [2- أمينو فينيل] إيثيل {2،7-ثنائي أوكسو- 7،8-ثنائي هيدرو-2H- كرومين-8- أد، HL_3 و (Z)-8- (1-4) أمينو فينيل أمينو) إيثيلدين)-H2- كرومين-2،7 (H8)-ثنائي أون، HL_4 ومترابطاتها مع المعادن الثنائية [الخاصين (II)، الكاديوم (II)، النحاس (II)] بالنسبة للموصل HL_1 والخاصين (II)، الكاديوم (II)، النحاس (II)، النيكل (II) والبلاديوم (II)] للموصلات H_2L_2 و HL_3 و HL_4 . وتم التوصل إلى تركيبها الكيميائي اعتمادا على التحليل العنصري والتوصيلية الكهربائية والأشعة السينية للبلورة الواحدة وطيف الرنين النووي المغناطيسي ودراسات طيفية مختلفة، وقد أثبت التوصيل الكهربائي انعدام التوصيلية الكهربائية لجميع المترابطات.

كما أوضحت دراسة طيف الأشعة تحت الحمراء أن المتصلات تتناسق مع ذرة المعدن من خلال ذرة النيتروجين للأزوميثين وذرة الأكسجين الفينولية، في حين أن مجموعة الكربونيل لا تدخل في تناسق مع ذرة المعدن. وساهمت بقية الدراسات في تحديد الأشكال الهندسية المختلفة للمترابطات.

أوضحت دراسة طيف التآلق أن المتصلات الأربعة تُظهر طيف انبعاث واضح في المنطقة الزرقاء، كما أن دخول هذه المتصلات في تناسق مع الخاصين الثنائي يعزز كثيرا من شدة انبعاث طيف التآلق عنه في متصلات شيف، ويترافق طيف الانبعاث للموصل HL_1 إلى طول موجي أعلى (المنطقة الزرقاء - الخضراء) عند اتصاله بالخاصين الثنائي. كذلك الكاديوم يزيد من شدة طيف الانبعاث التآلقي عند ارتباطه بالمتصلات الأربعة.

على العكس من ذلك؛ فإن أيونات المعادن الثنائية [النحاس (II)، النيكل (II) والبلاديوم (II)] تسبب انطفاء التآلق. وبناء على نتائج الدراسة فإنه يمكن استخدام HL_1 كمجس لأيون الخاصين الثنائي كما يمكن استخدام HL_3 كصبغة ليزر ومجس لأيون الخاصين الثنائي في وجود أيونات أخرى إضافة إلى استخدامه في مجالات تطبيقية مختلفة مقارنة بـ 7-amino-4-methylcoumarin.

Spectroscopic Studies of some Coumarin Derivatives and some of their Transition Metal Complexes

by
Huda Mohammad Al-Amri

Abstract

The Schiff base ligands 4-methyl-7-(salicylidineamino) coumarin, HL₁, N¹,N²-bis[8-(1-ethylidene)-7-hydroxy-2H-chromen-2-one] ethane-1,2-diamine, H₂L₂, 8-{(1*E*)-1-[(2-aminophenyl)iminio]ethyl}-2,7-dioxo-7,8-dihydro-2*H*-chromen-8-ide, HL₃ and (Z)-8-(1-(4-aminophenylamino)ethylidene)-2*H*-chromene-2,7(8*H*)-dione, HL₄ and their M(II) transition metal complexes, [M = Zn, Cd and Cu] for HL₁ and [M = Zn, Cd, Cu, Ni and Pd] for H₂L₂, HL₃ and HL₄ have been synthesized and characterized on the bases of elemental analysis, molar conductance, single-crystal X-ray diffraction study, nuclear magnetic resonance and a variety of spectral methods. The molar conductance value revealed that the chelates are nonelectrolytic in nature. IR spectra show that the Schiff base are coordinated to the metal ions via an azomethine nitrogen and phenolic oxygen while the lactone carbonyl does not participate in coordination. Other spectral studies such as NMR studies, UV/vis, mass spectra and ESR suggested the tentative structures for HL₁, H₂L₂, HL₃ and HL₄ complexes.

The fluorescence studies showed that the Schiff base ligands exhibited fluorescence emission at the blue region. Upon coordination with Zn(II) and Cd(II) an enhanced fluorescence intensity was obtained. However the coordination of Cu(II), Ni(II) and Pd(II) quenched the fluorescence intensity.

Based on the research we suggest that the Schiff base ligand HL₁ could be used as a potential Zn²⁺ sensor while HL₃ could be used as a laser dye in comparison to 7-amino-4-methylcoumarin. Its zinc complex could be used as a potential Zn²⁺ sensor even in the presence of other ions and as a photoactive material in many applications.

Summary

The thesis comprises three chapters. The first is concerned with the literature survey of the chemistry of coumarins and their fluorescence properties.

The second chapter is devoted to the experimental part. The synthesis of four chelating Schiff base compounds containing coumarin moiety HL₁, H₂L₂, HL₃ and HL₄ and their transition metal complexes namely Zn(II), Cd(II), Cu(II), Ni(II) and Pd(II). The analytical data of the ligands and their complexes are given.

The working procedure and the instruments used for characterization of the prepared compounds (Single crystal X-ray diffraction, IR, UV-visible, ¹H NMR, ¹³C NMR, ESR, mass spectra and fluorescence measurements) are also described.

The third chapter is concerned with the results and discussion and is divided into seven parts:

The first part deals with the infrared spectra of the Ligands, their metal complexes and the assignment of the position of the fundamental groups, mainly -OH, C=N and lacton (or keto) C=O.

The thermal studies including thermogravimetric analysis (TG) and derivative thermogravimetric (DTG) of some hydrated metal complexes are given in the second part.

The third part is devoted to discuss the electronic absorption spectra of the organic ligands and their transition metal complexes. These studies revealed partially the tentative structure for the complexes as in the table at the end.

From the empirical formula and ^1H NMR studies of $[\text{Zn}(\text{L}_1)_2]$ and $[\text{Cd}(\text{L}_1)_2(\text{H}_2\text{O})_2]$ complexes a tetrahedral geometry for the former and an octahedral geometry for later was suggested, while the electronic spectra for the $[\{\text{Cu}(\text{L}_1)_2\}_2]$ complex and single crystal X-ray diffraction and ESR studies are consistent with a penta coordinate symmetry.

$[\text{ZnL}_2]$ and $[\text{CdL}_2]$ complexes are proposed to have a tetrahedral geometry. The visible spectrum of the $[\text{CuL}_2]$ complex was typical for a square planar one. The diamagnetic $[\text{NiL}_2]$, $[\text{PdL}_2]$, $[\text{CuL}_3\text{OAc}]$, $[\text{PdL}_3\text{Cl}]$, $[\text{CuHL}_4(\text{OAc})_2]$, $[\text{PdHL}_4\text{Cl}_2]$, complexes have a square planar geometry around the metal atoms.

$[\text{NiL}_3\text{Cl}(\text{H}_2\text{O})_2]$, $[\text{NiHL}_4\text{Cl}_2(\text{H}_2\text{O})_2]$, $[\text{Zn}(\text{L}_3)_2].2\text{H}_2\text{O}$ and $[\text{ZnHL}_4(\text{OAc})_2(\text{H}_2\text{O})_2]$ complexes have an octahedral geometry. The empirical formula for $[\text{CdL}_3\text{OAc}].\text{H}_2\text{O}$ and $[\text{CdHL}_4(\text{OAc})_2].2\text{H}_2\text{O}$ are consistent with their tetrahedral geometry.

The fourth part is concerned with the fluorescence studies. The Schiff base ligands exhibited fluorescence emission at the blue region where HL₃ ligand shows maximum fluorescence compared to HL₁, H₂L₂ and HL₄ and even to the well-known laser dye 7-amino-4-methylcoumarin. However, the fluorescence intensity is enhanced in the presence of Zn⁺² and Cd⁺² in DMSO. Metal ion like Cu(II), Ni(II) and Pd(II) quench the fluorescence.

The fifth part is related to the ESR spectra for copper complexes. The data proved the monomeric structure and the square-planar geometry of [CuL₂], [CuL₃OAc] complexes and pseudo tetrahedral geometry for [CuHL₄(OAc)₂].

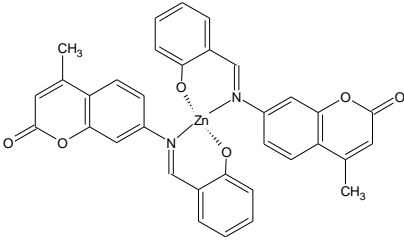
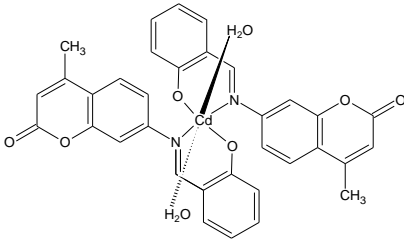
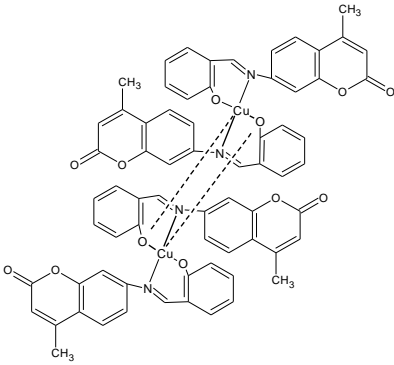
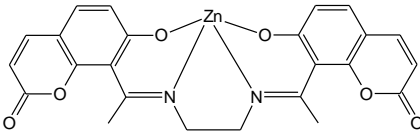
The sixth part deals with the mass spectral analysis which confirmed the proposed structure of the organic ligand H₂L₂, HL₃ and HL₄.

Finally the ¹H NMR and ¹³C spectra of the organic ligands H₂L₂, HL₃ and HL₄ and some of their metal (II) complexes in DMSO d₆ were discussed in the seventh part. The spectra ensured the ligand and the complexes purity in solution and elucidated the differently positioned proton and carbon atoms.

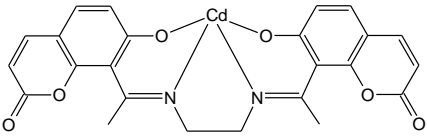
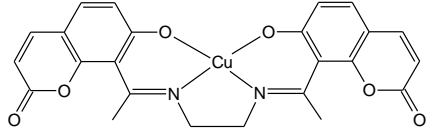
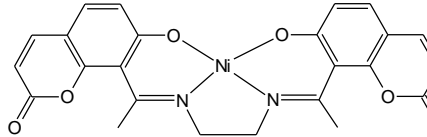
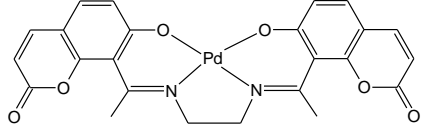
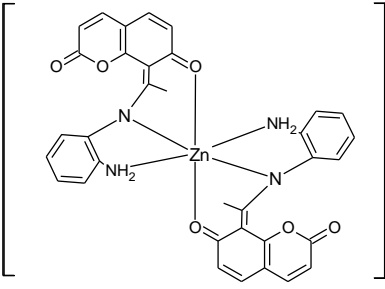
The thesis ended with a list of references used in the work (115). The data are collected in (17) tables and illustrated in (78) figures.

Representative structures of the transition metal complexes

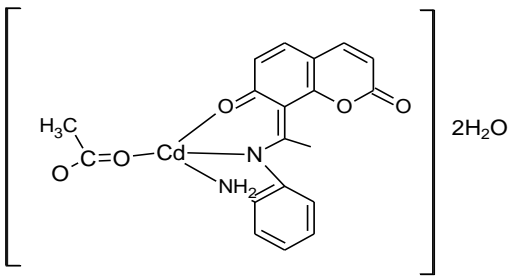
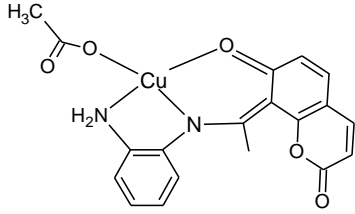
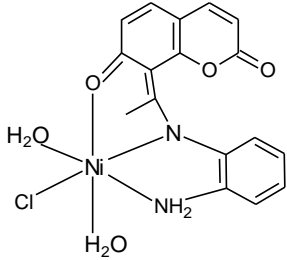
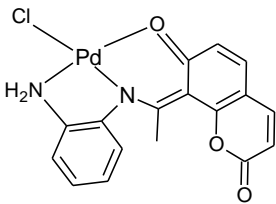
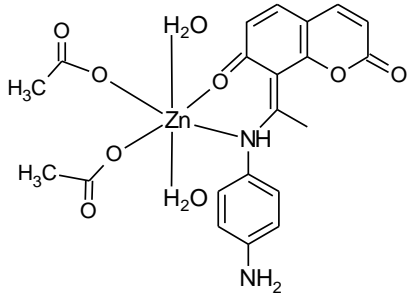
Complex	Formula	Structure
----------------	----------------	------------------

<p>[Zn(L₁)₂] Yellow</p>	<p>C₃₄H₂₄N₂O₆Zn</p>	 <p>Tetrahedral</p>
<p>[Cd(L₁)₂(H₂O)₂] Yellow</p>	<p>C₃₄H₂₈N₂O₈Cd</p>	 <p>Octahedral</p>
<p>[{Cu(L₁)₂}₂] Olive Green</p>	<p>C₆₈H₄₈N₄O₁₂Cu₂</p>	 <p>Distorted trigonal-bipyramidal</p>
<p>[ZnL₂] Pale Yellow</p>	<p>C₂₄H₁₈N₂O₆Zn</p>	 <p>Tetrahedral</p>

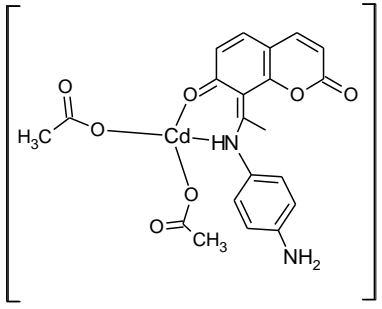
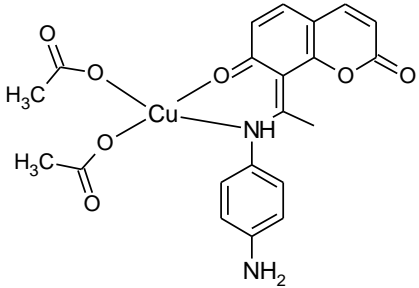
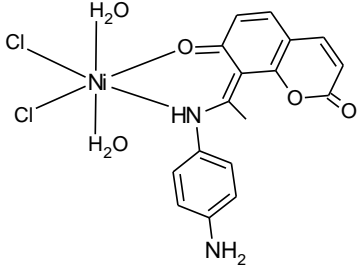
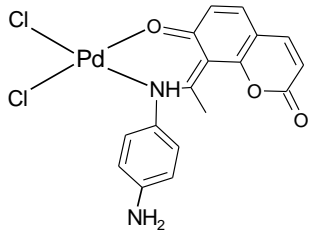
Complex	Formula	Structure
---------	---------	-----------

<p>[CdL₂] Yellow</p>	<p>$C_{24}H_{18}N_2O_6Cd$</p>	 <p>Tetrahedral</p>
<p>[CuL₂] Pale red</p>	<p>$C_{24}H_{18}N_2O_6Cu$</p>	 <p>Square planar</p>
<p>[NiL₂] Red</p>	<p>$C_{24}H_{18}N_2O_6Ni$</p>	 <p>Square planar</p>
<p>[PdL₂] Green</p>	<p>$C_{24}H_{18}N_2O_6Pd$</p>	 <p>Square planar</p>
<p>[Zn(L₃)₂].2H₂O Pale Yellow</p>	<p>$C_{34}H_{30}N_4O_8Zn$</p>	 <p>Octahedral</p>

Complex	Formula	Structure
---------	---------	-----------

<p>[CdL₃OAc].H₂O</p>	<p>C₁₉H₁₈N₂O₆Cd</p> <p>Pale Yellow</p>	 <p>Tetrahedral</p>
<p>[CuL₃OAc]</p>	<p>C₁₉H₁₆N₂O₅Cu</p> <p>Black-green</p>	 <p>Square planar</p>
<p>[NiL₃Cl(H₂O)₂]</p>	<p>C₁₇H₁₇ClN₂O₅Ni</p> <p>Green</p>	 <p>Octahedral</p>
<p>[PdL₃Cl]</p>	<p>C₁₇H₁₃ClN₂O₃Pd</p> <p>Green</p>	 <p>Square planar</p>
<p>[ZnHL₄(OAc)₂(H₂O)₂]</p>	<p>C₂₁H₂₄N₂O₉ Zn</p> <p>Pale Yellow</p>	 <p>Octahedral</p>

	Formla	Structure
--	--------	-----------

Complex		
<p>[CdHL₄(OAc)₂].2H₂O</p>	<p>C₂₁H₂₄N₂O₉Cd Green</p>	 <p style="text-align: center;">Tetrahedral</p>
<p>[CuHL₄(OAc)₂]</p>	<p>C₂₁H₂₀N₂O₇Cu Brown</p>	 <p style="text-align: center;">Square planar</p>
<p>[NiHL₄Cl₂(H₂O)₂]</p>	<p>C₁₇H₁₈Cl₂N₂O₅Ni Green</p>	 <p style="text-align: center;">Octahedral</p>
<p>[PdHL₄Cl₂]</p>	<p>C₁₇H₁₄Cl₂N₂O₃Pd Green</p>	 <p style="text-align: center;">Square planar</p>

(لا يوجد خاتمة-لا يوجد ملخص عربي)